



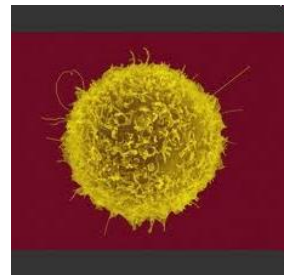
CeNT CENTRUM  
NOWYCH  
TECHNOLOGII

# Metody badania RNA w neuronach

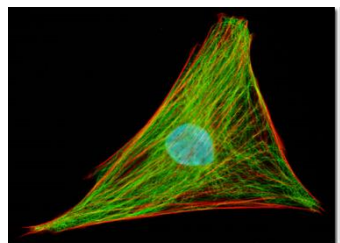
Magdalena Dziembowska



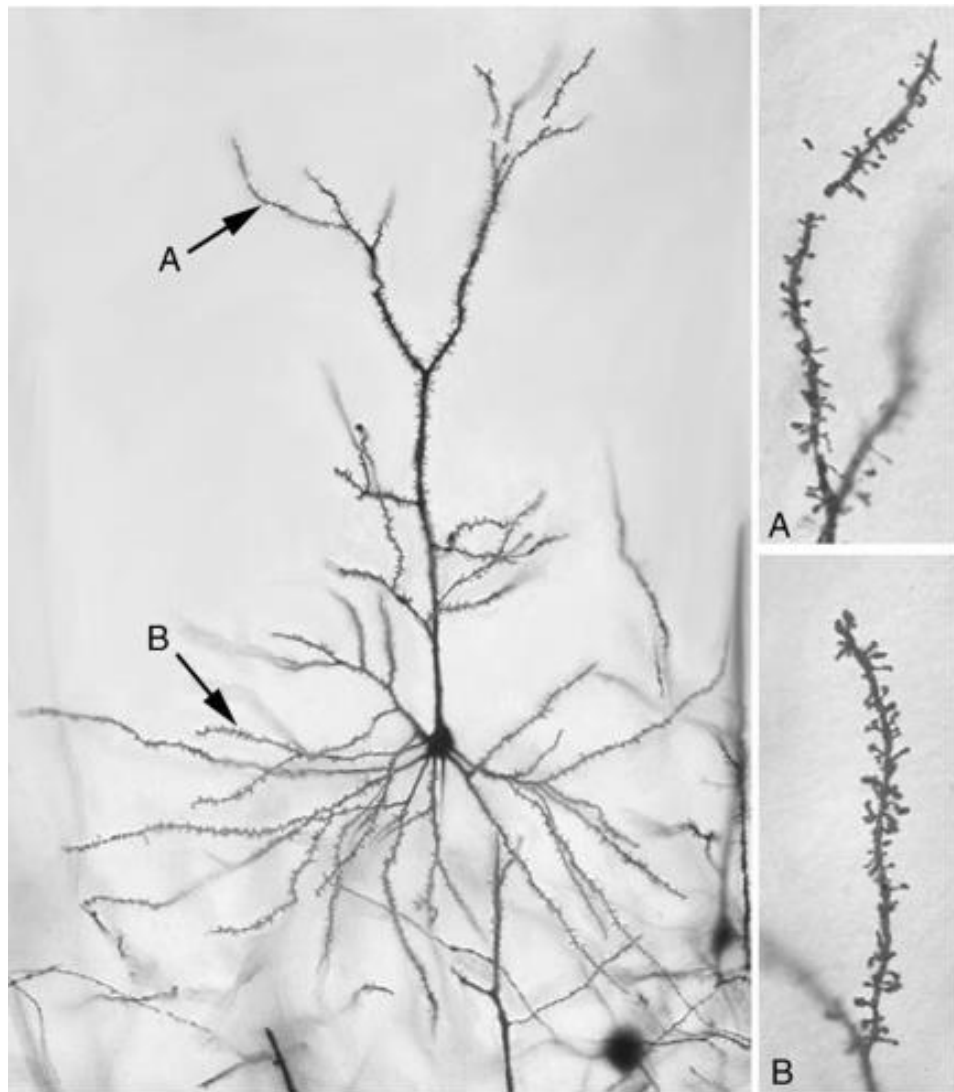
LABORATORIUM  
MOLEKULARNYCH PODSTAW  
PLASTYCZNOŚCI  
SYNAPTYCZNEJ



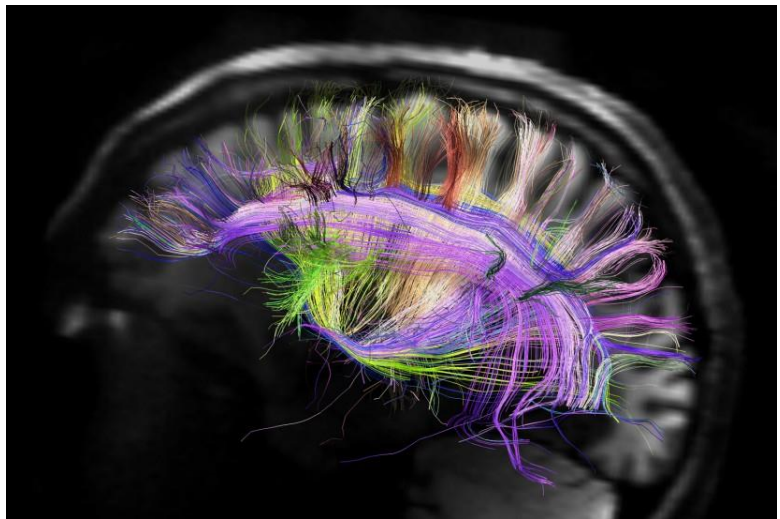
T cell



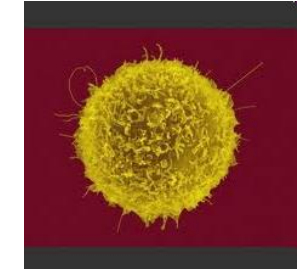
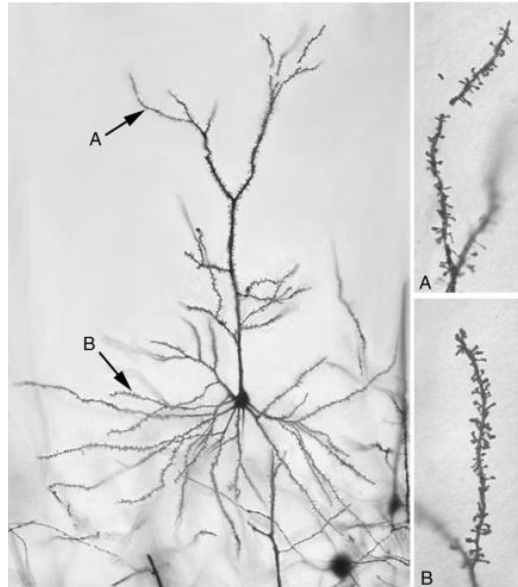
fibroblast



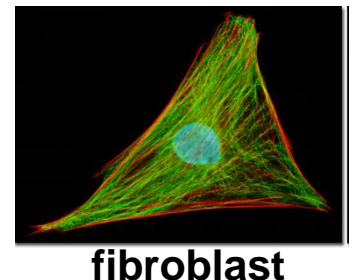
A Golgi-stained pyramidal cell in the parietal cortex of a rat. The high power images at the right show dendritic spines on apical and basilar dendritic branches. Photo by **Grazyna Gorny**



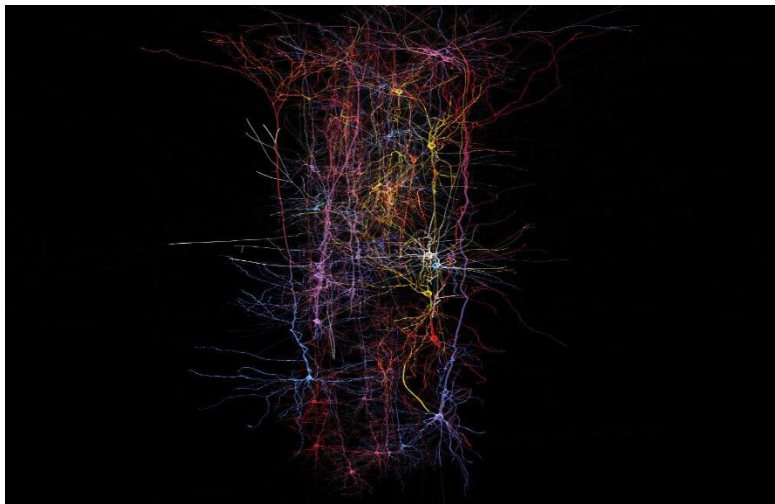
Brain Research Through Advancing Innovative  
Neurotechnologies (BRAIN) initiative.



**T cell**



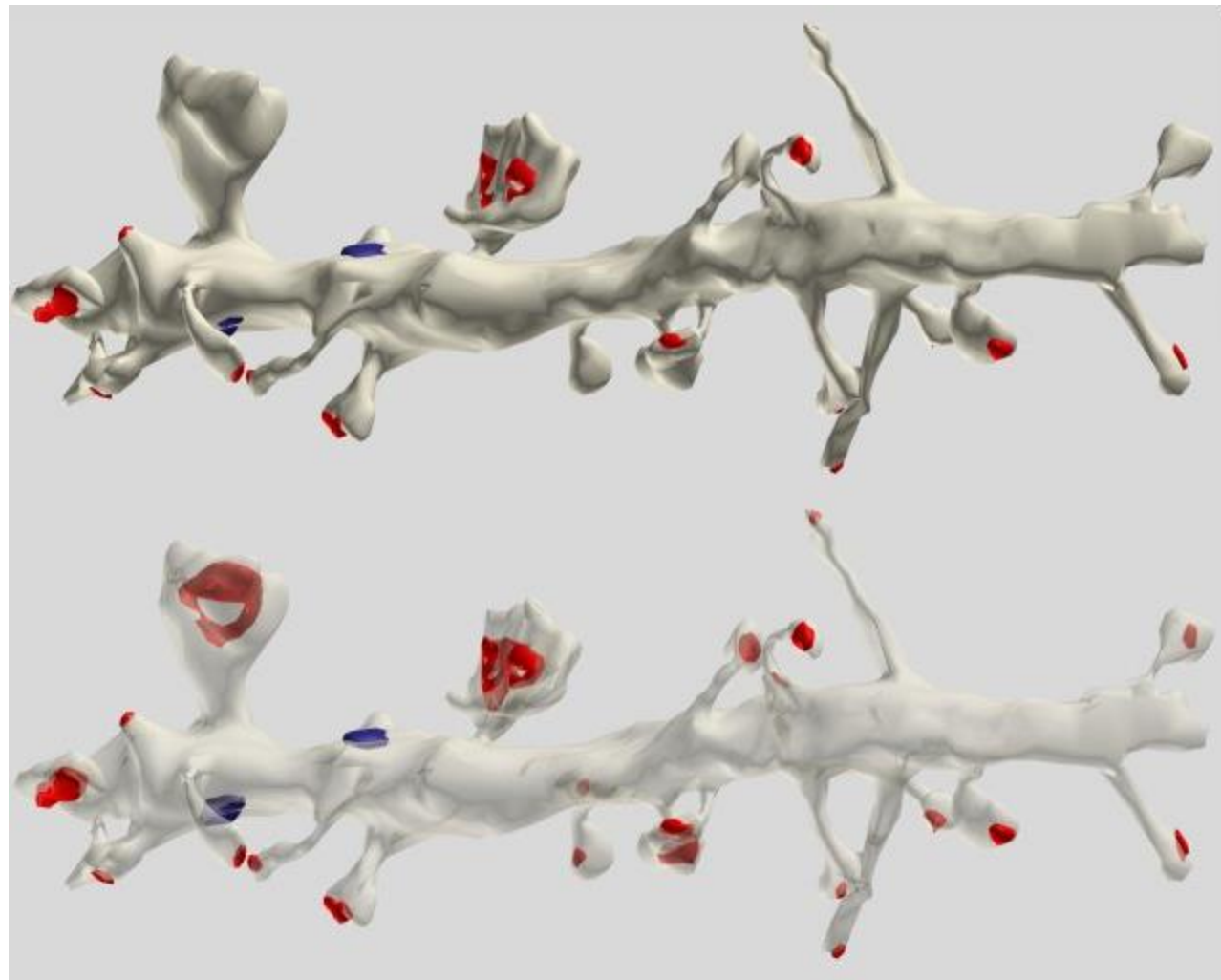
**fibroblast**



The Blue Brain Project

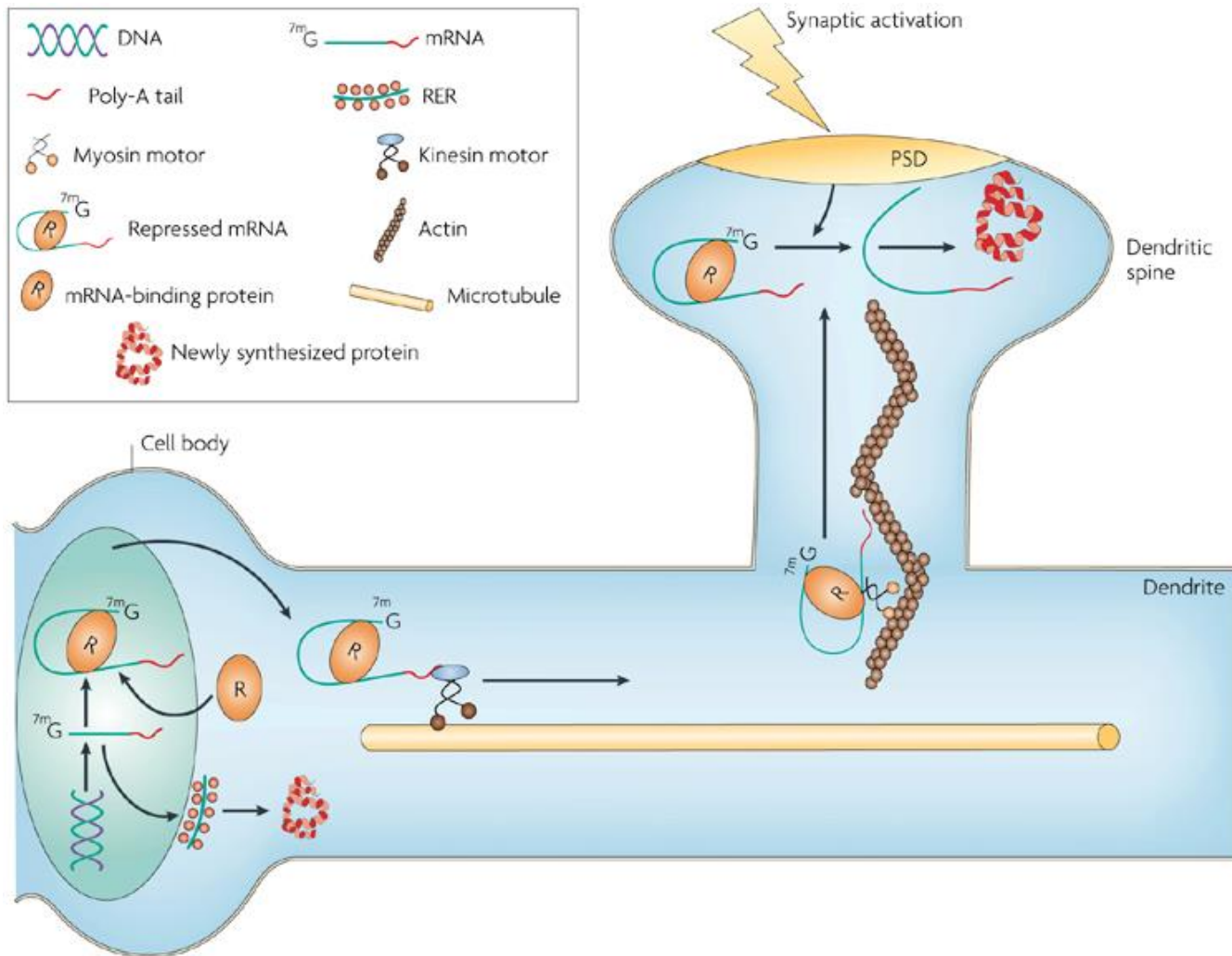


Synapsy są zlokalizowane na kolcach dendrytycznych. Kolce dendrytyczne to dynamiczne struktury, które mogą zmieniać kształt w odpowiedzi na pobudzenie.

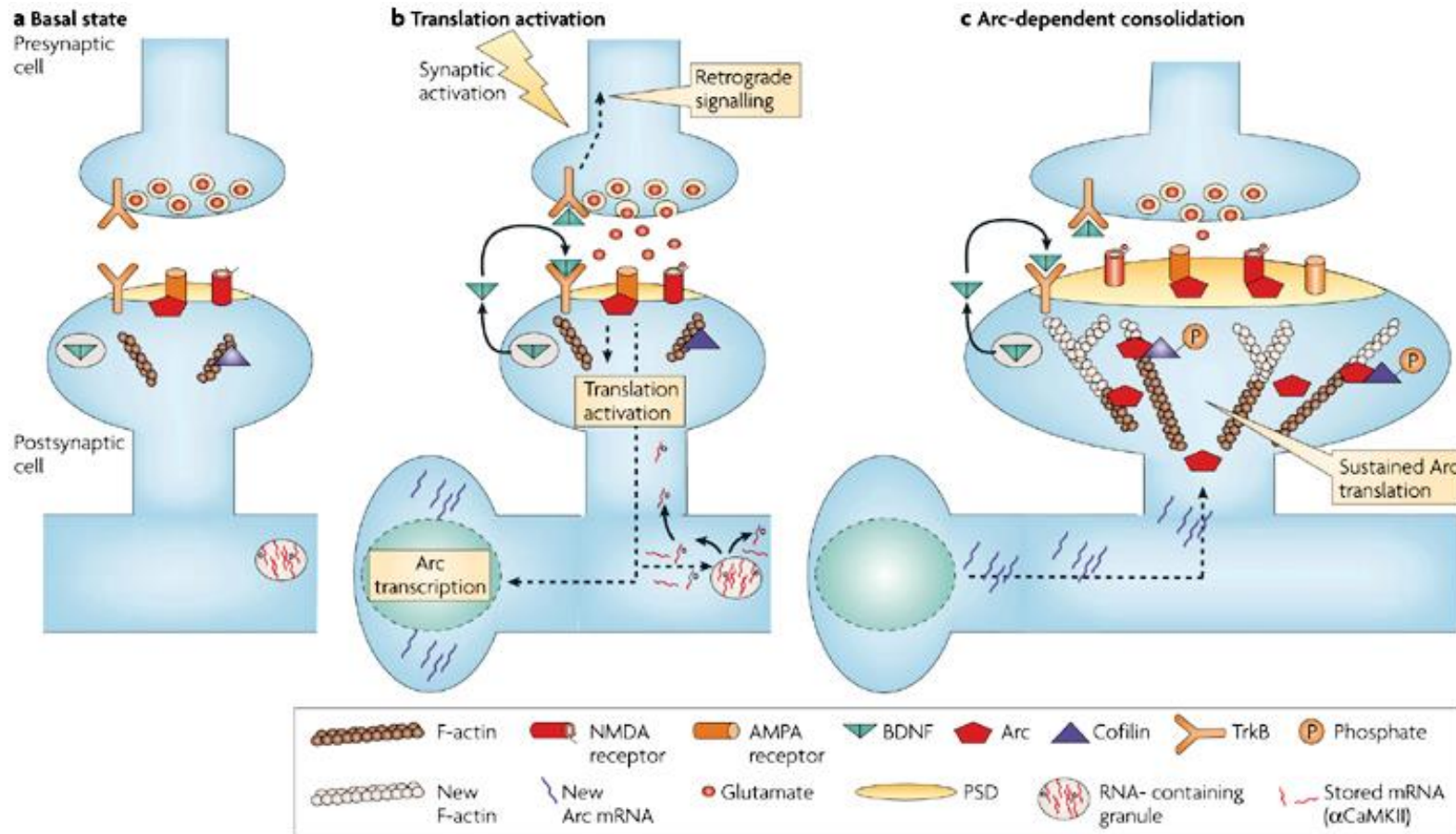


**Fig. 1:** A segment of pyramidal cell dendrite from stratum radiatum (CA1) with thin, stubby, and mushroom-shaped spines. Spine synapses colored in red, stem (or shaft) synapses colored in blue. The dendrite was made transparent in the lower image to enable visualization of all synapses. *Photo by Josef Spacek*.

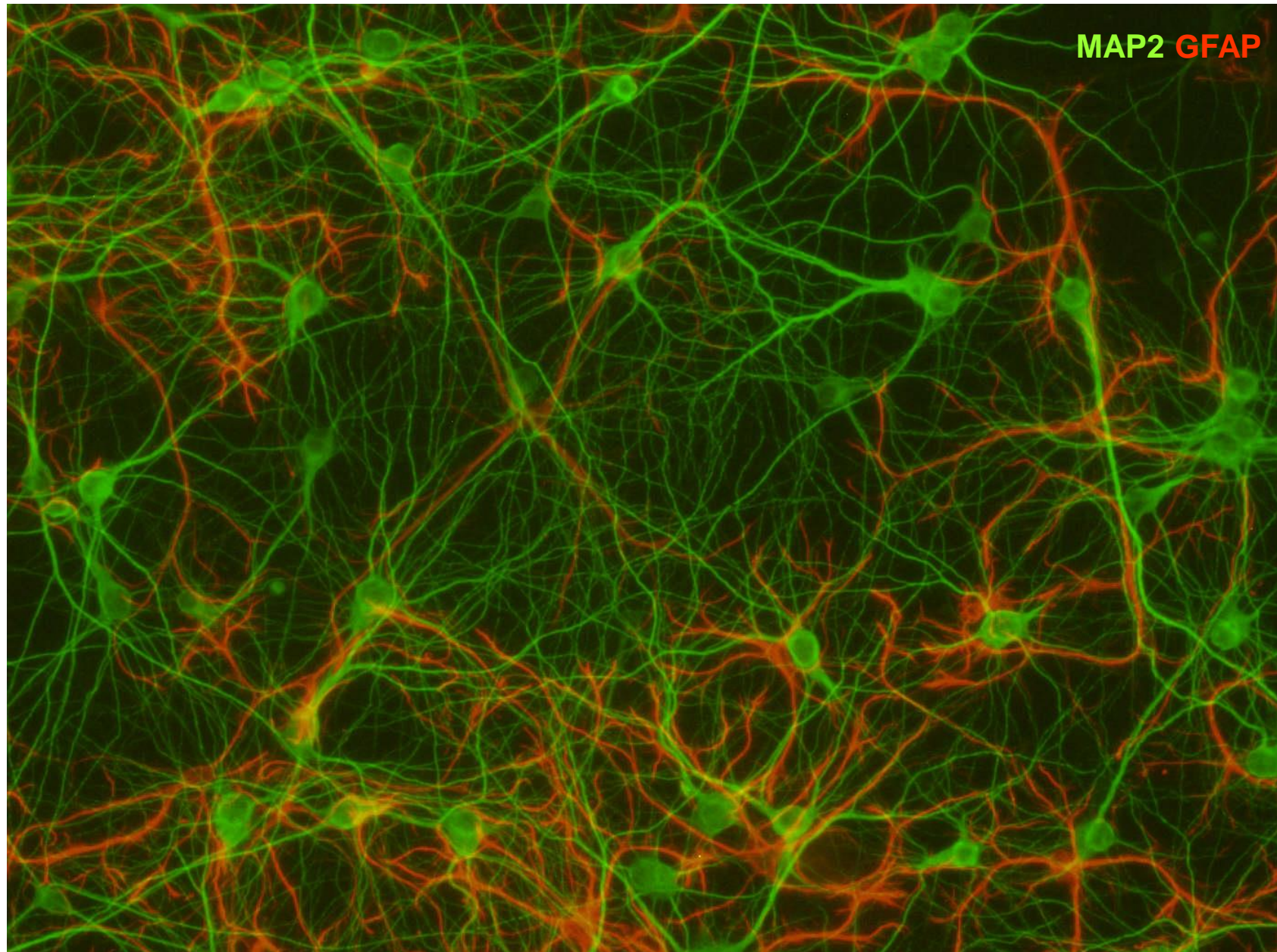
# Local mRNA translation in dendritic spines



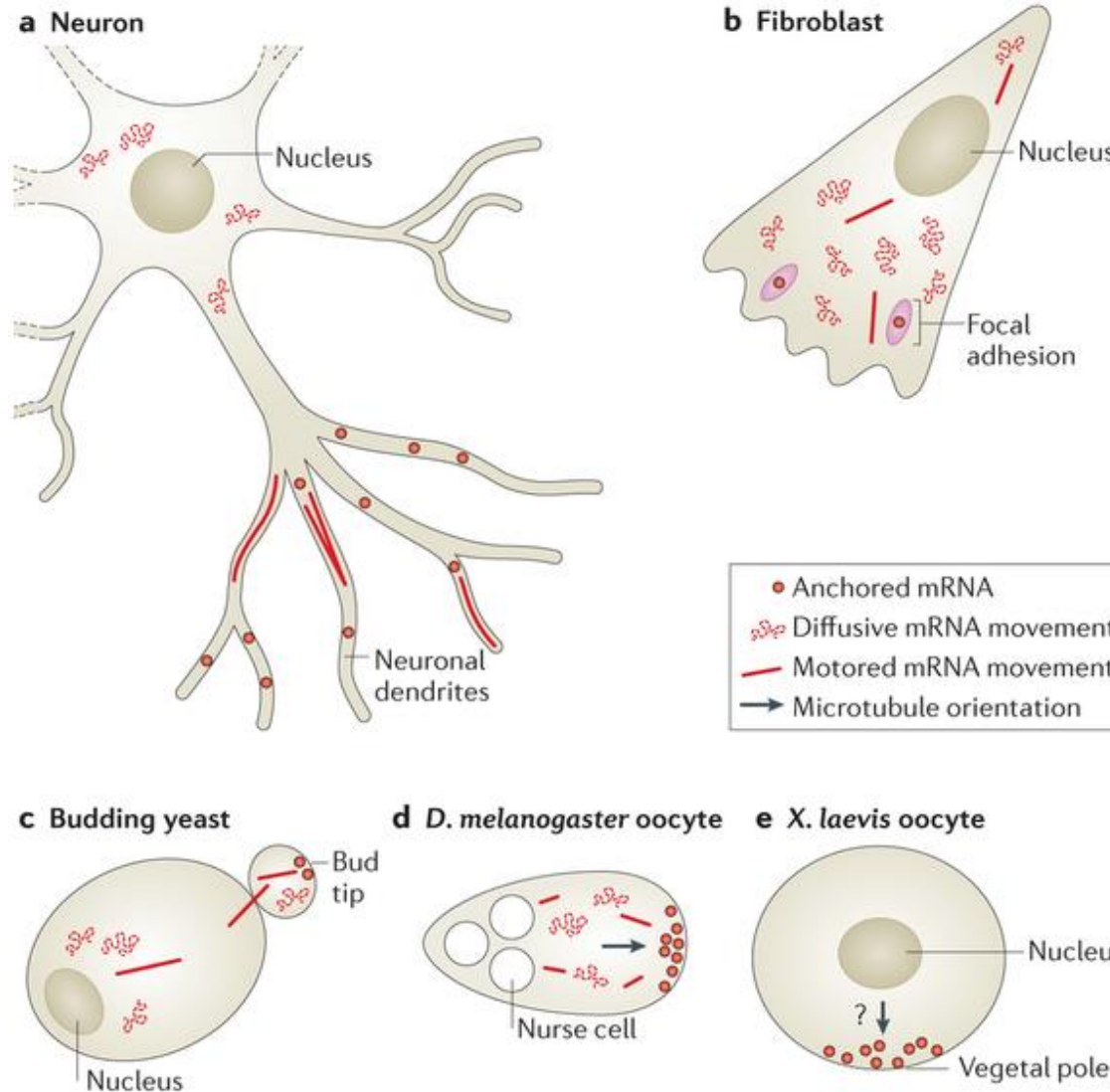
# A model of Arc-dependent LTP consolidation in the dentate gyrus



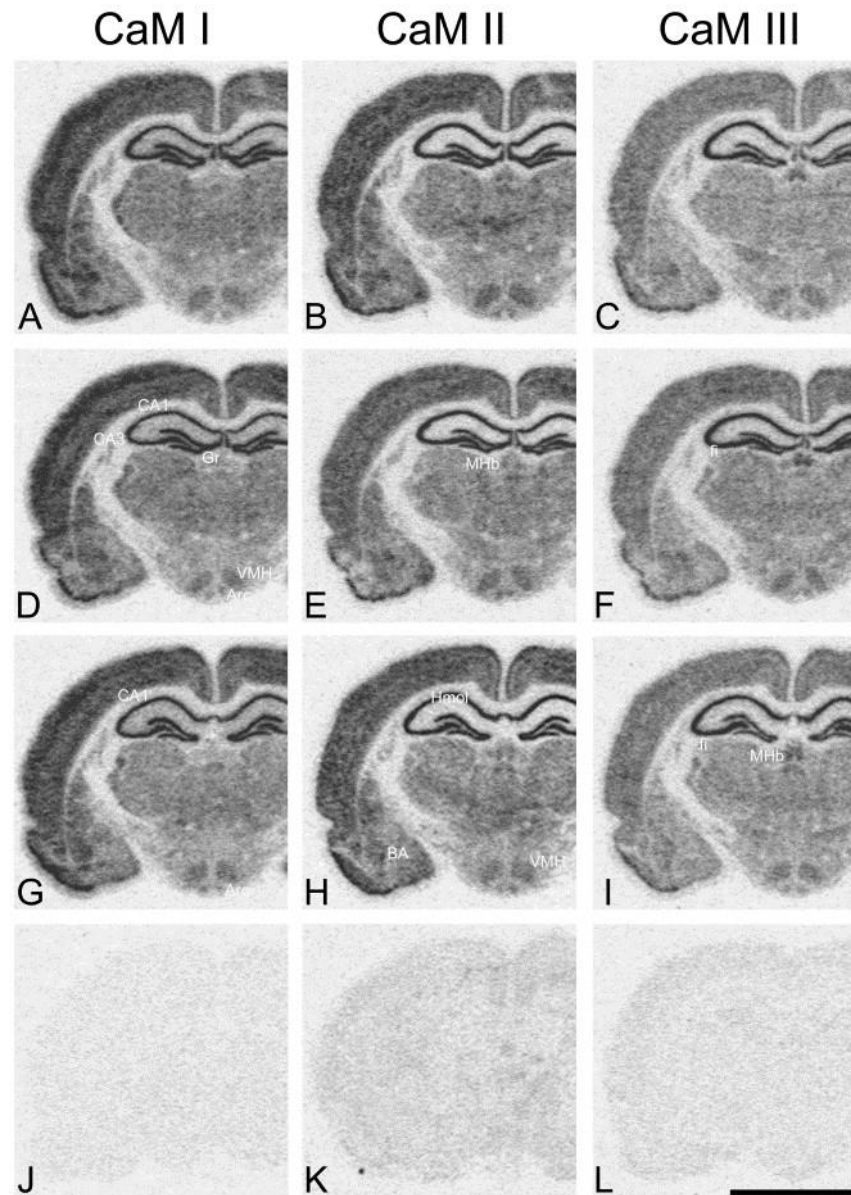
## Metody wizualizacji mRNA w neuronach



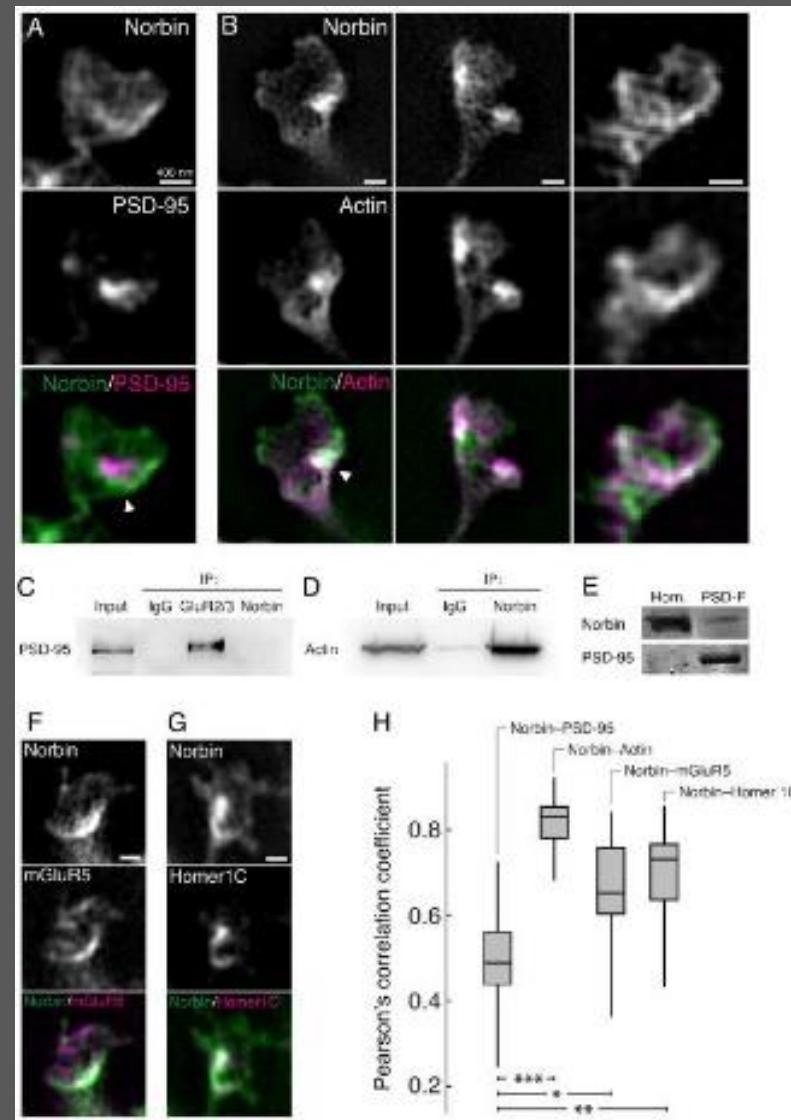
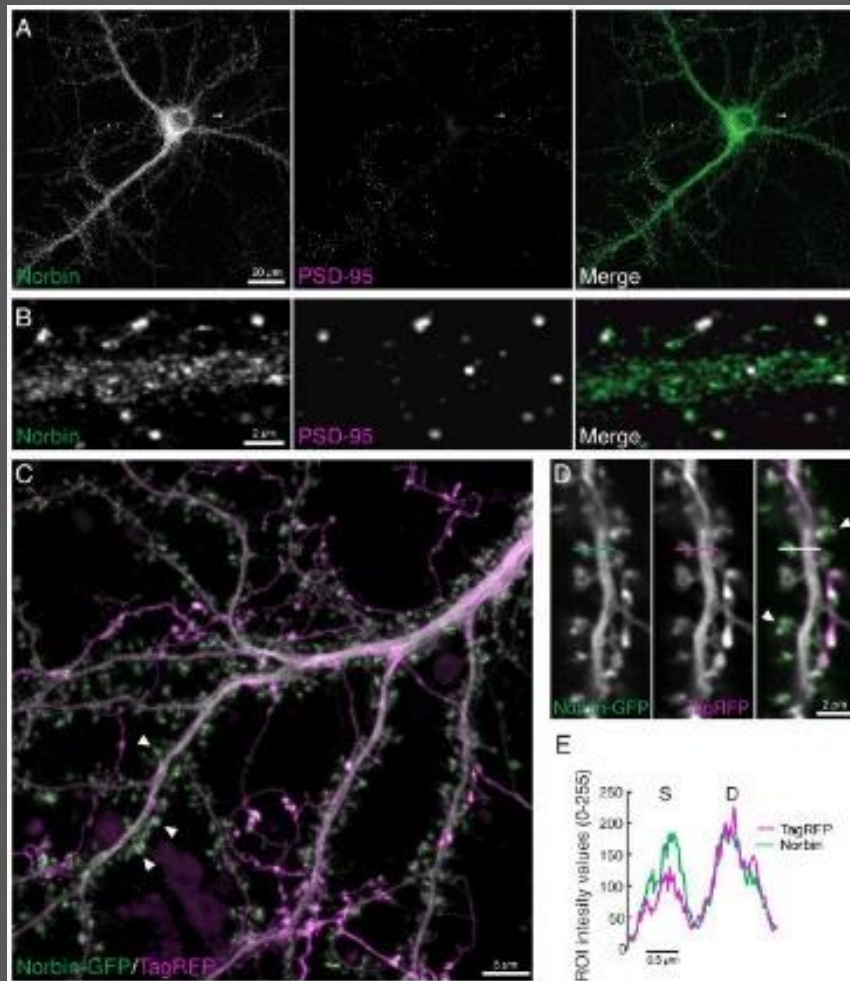
# Different types of mRNA movements depend on subcellular location and on cell type



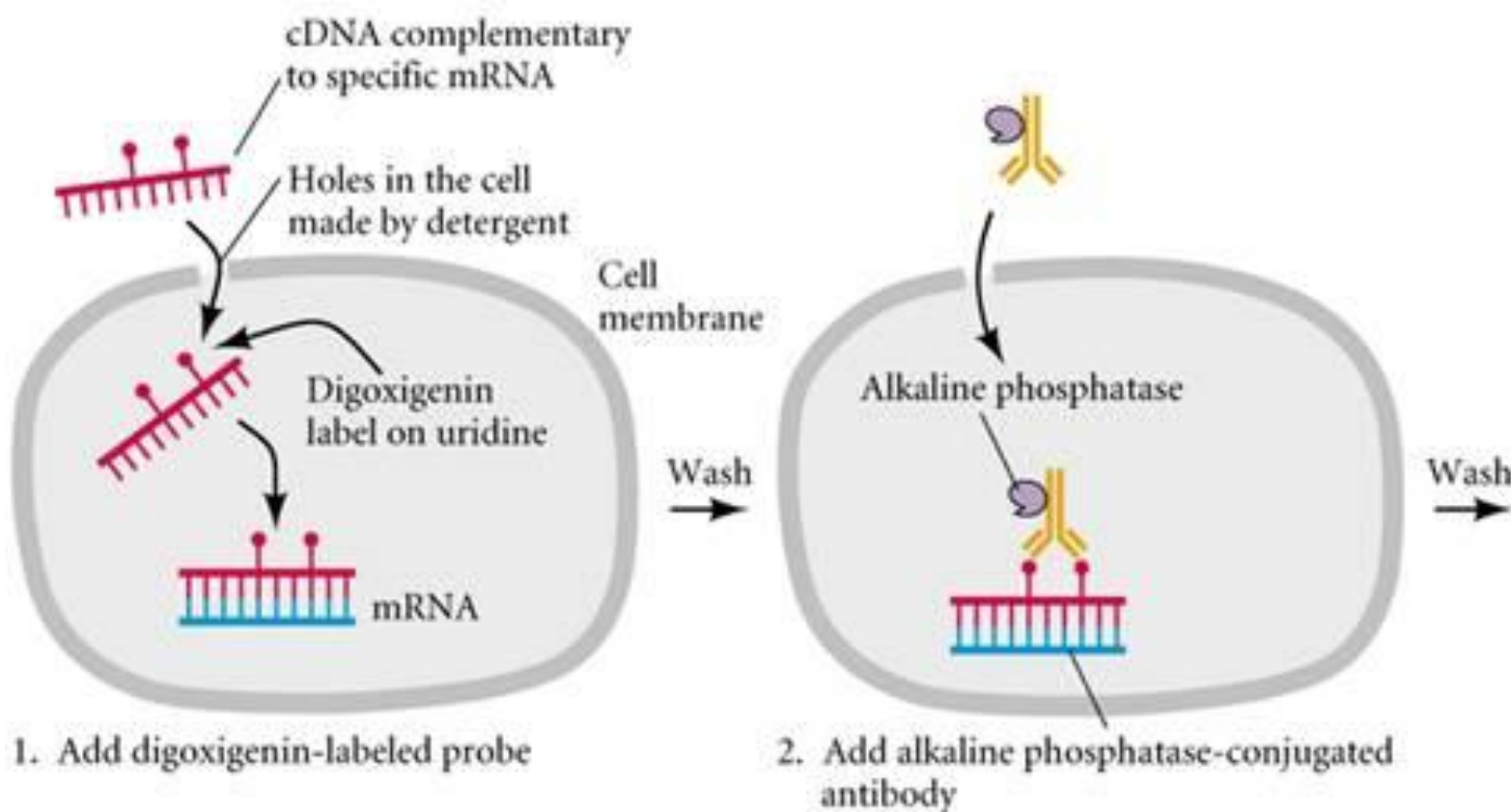
*in situ* hybrydyzacja z sondą RNA wyznakowaną radioaktywną siarką



# Super resolution microscopy



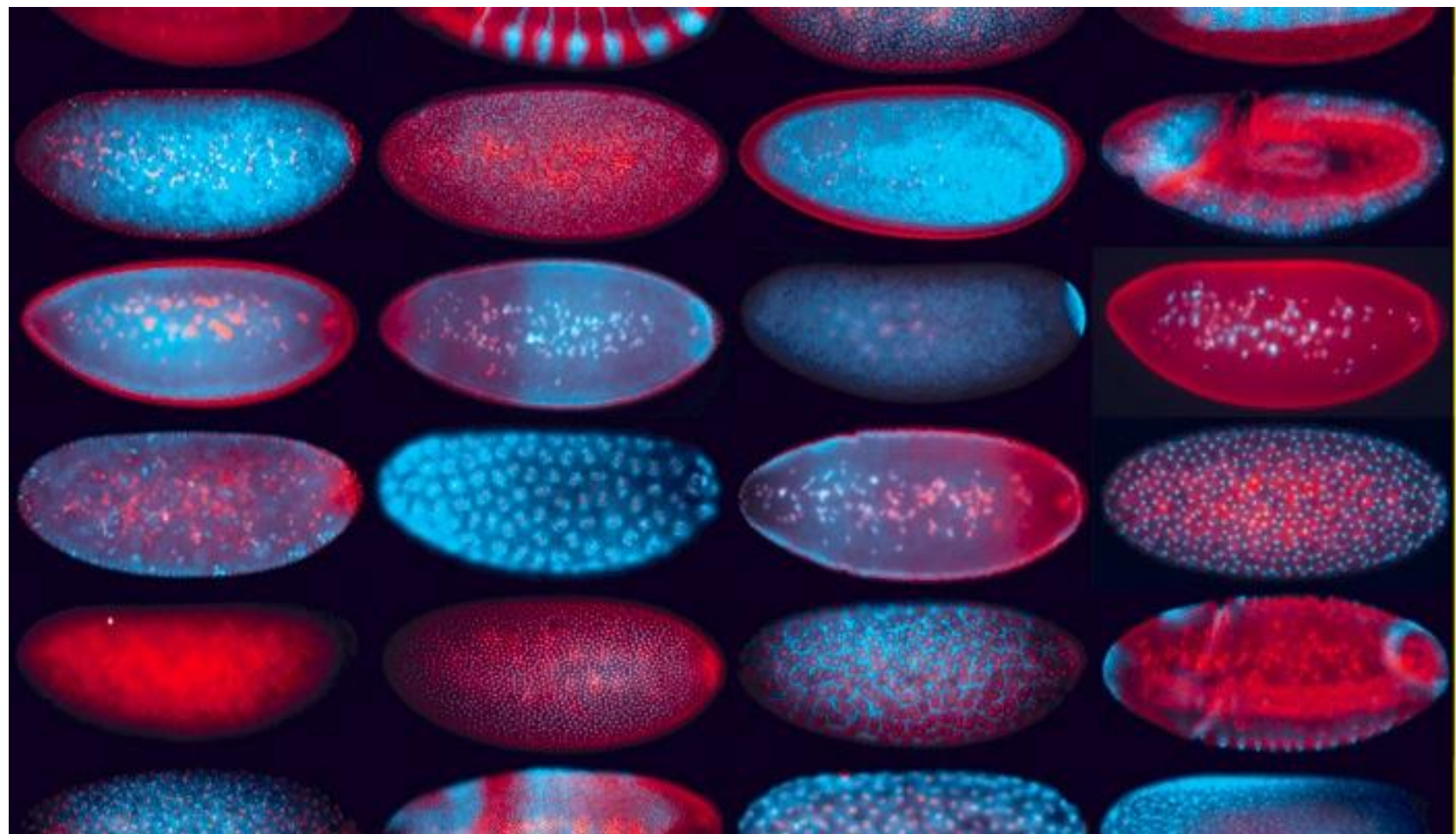
## In situ hybrydyzacja z sondą RNA wyznakowaną digoksygeniną



1. Add digoxigenin-labeled probe

2. Add alkaline phosphatase-conjugated antibody

**High-resolution fluorescent in situ hybridization procedure to comprehensively evaluate mRNA localization dynamics during early *Drosophila* embryogenesis.**



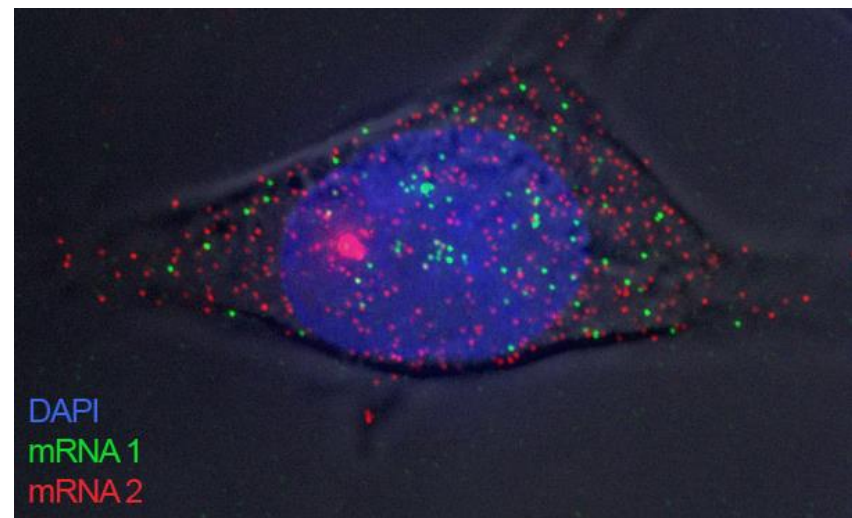
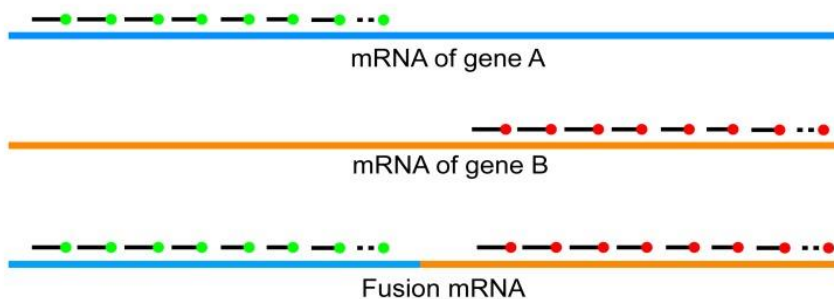
Lecuyer et al. 2007

**„Single molecule FISH” to metoda in situ hybrydyzacji pozwalająca na obrazowanie pojedynczej cząsteczki mRNA w komórce dzięki wykorzystaniu wielu fluorescencyjnie wyznakowanych sond zaprojektowanych do rozpoznawania sekwencji w obrębie tej samej cząsteczki mRNA**

A

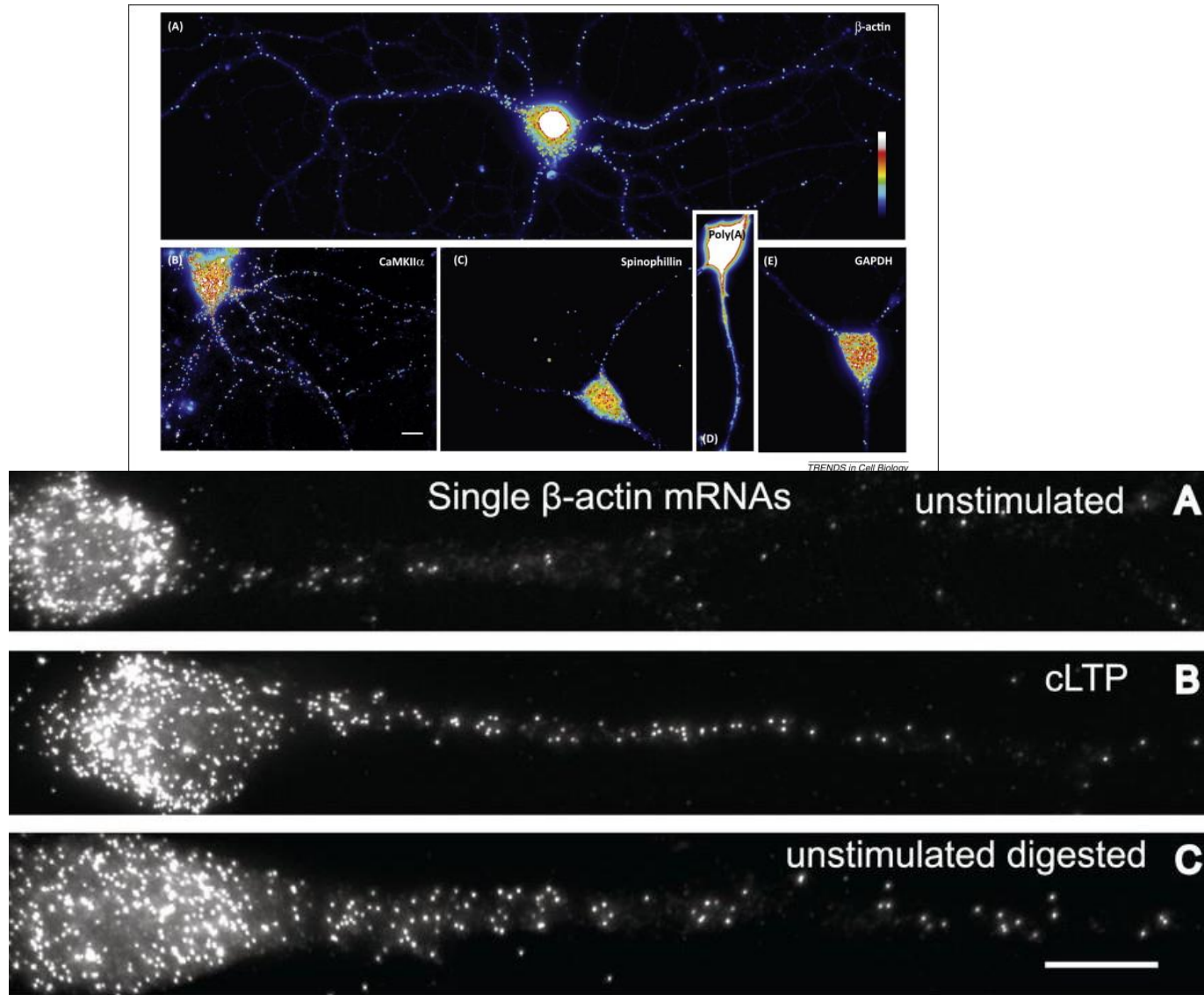


B

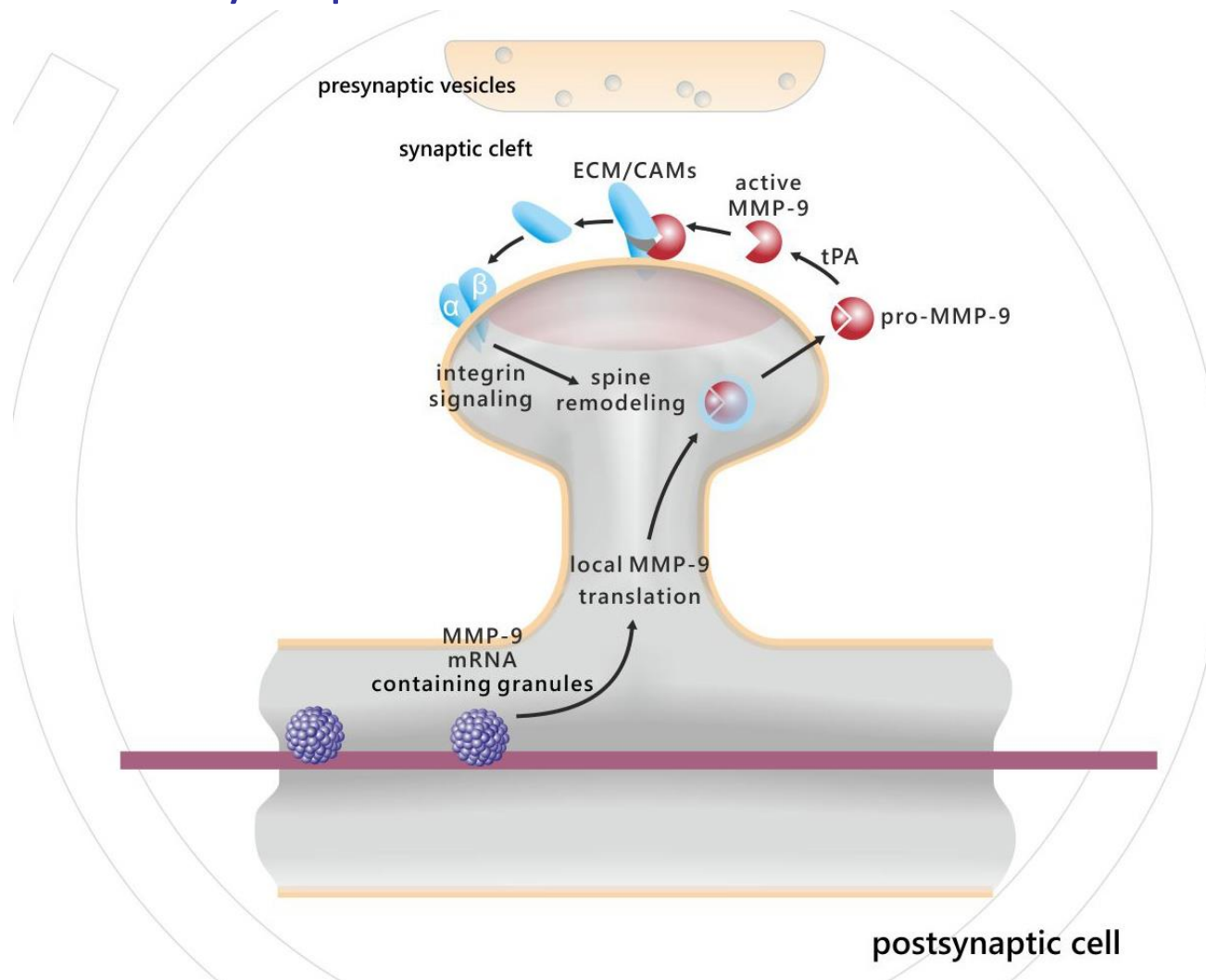


Przy użyciu tej metody można np. jednocześnie wykrywać dwa różne mRNA w komórce lub mRNA powstałe w wyniku fuzji 2 transkryptów (translokacji genomowych) jak np. BCR-ABL

# Obrazowanie mRNA w dendrytach komórek nerwowych z wykorzystaniem smFISH



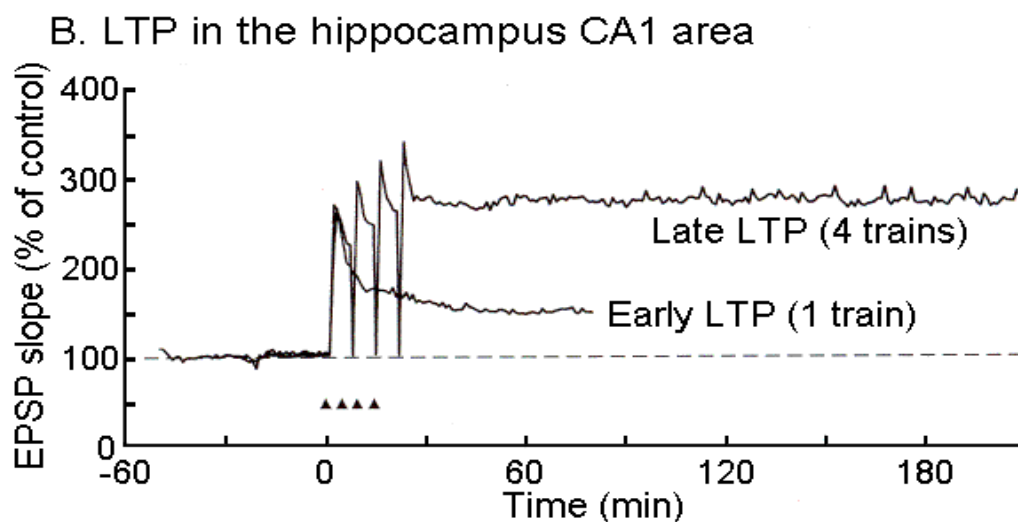
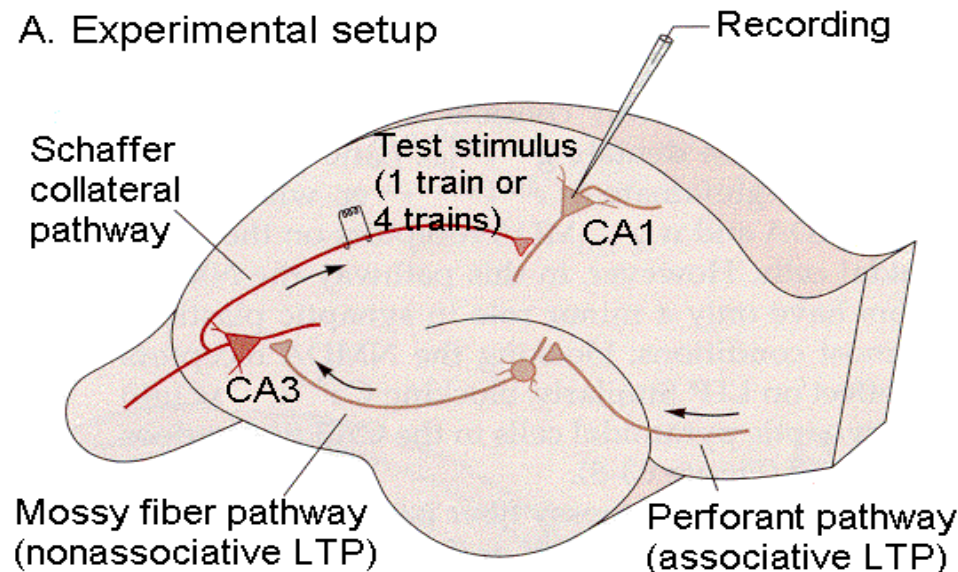
# Activity-dependent local translation of MMP-9



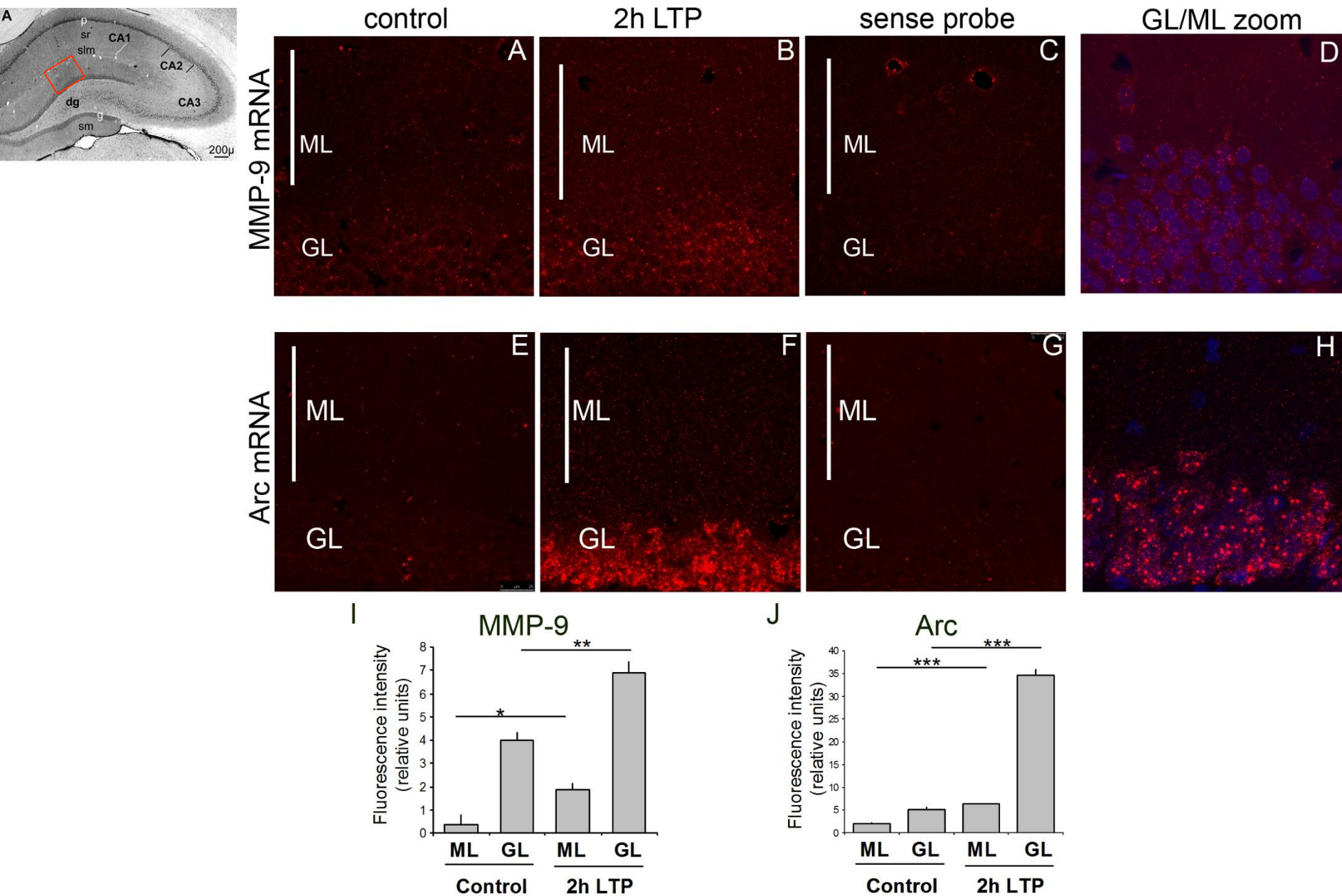
Dziembowska et al., J Neuroscience 2012

Dziembowska and Włodarczyk, Int J Biochem Cell Biol, 2012

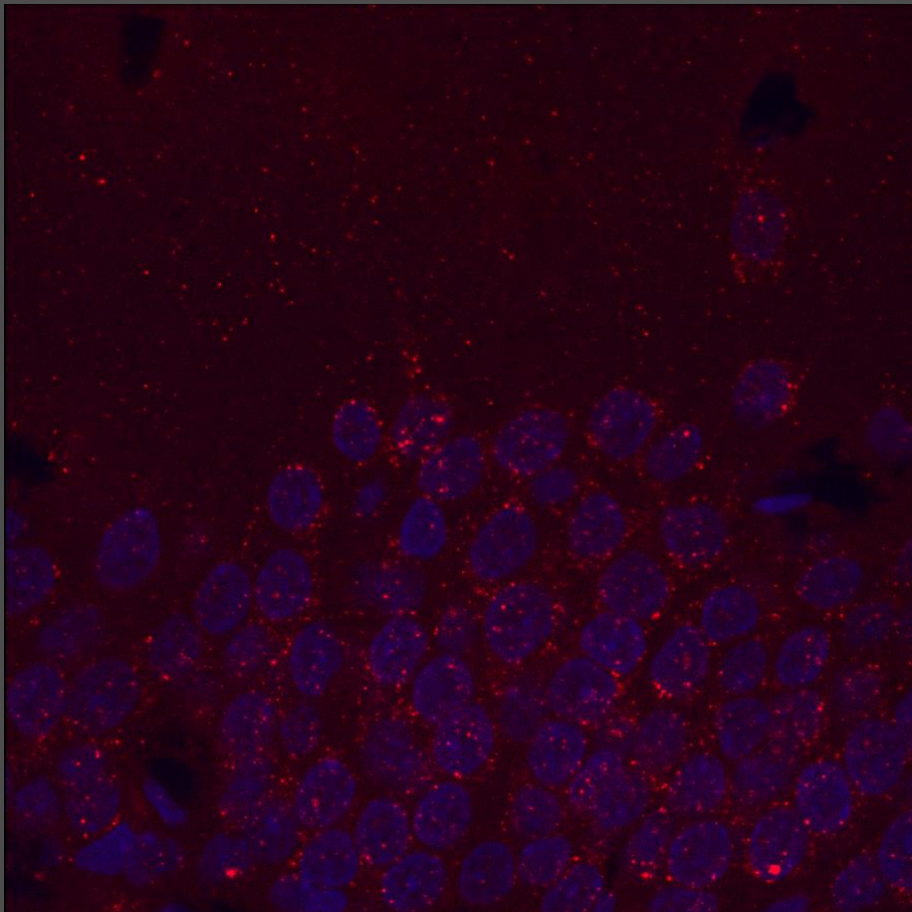
# Medial perforant path LTP - a well established model of synaptic plasticity



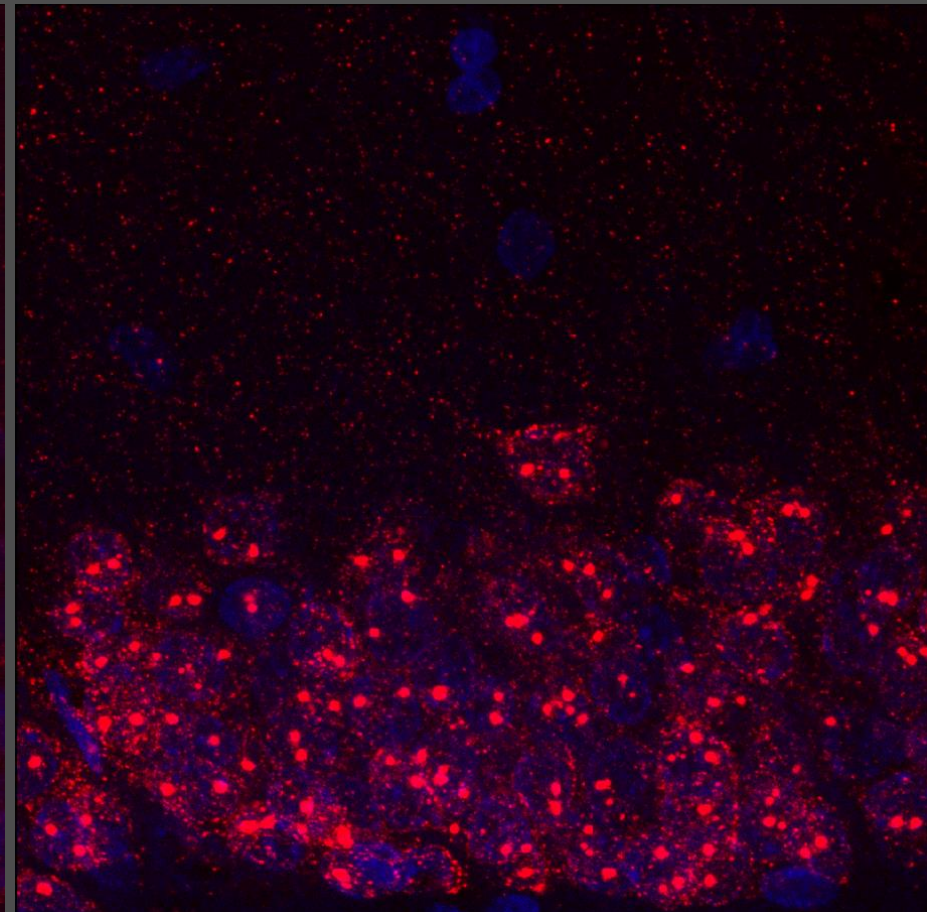
In situ hybridization shows increase in MMP-9 expression in granular layer and molecular layer of dentate gyrus 2h after medial perforant path LTP



MMP-9 in situ hybridization



Arc in situ hybridization



# Sushi belt model

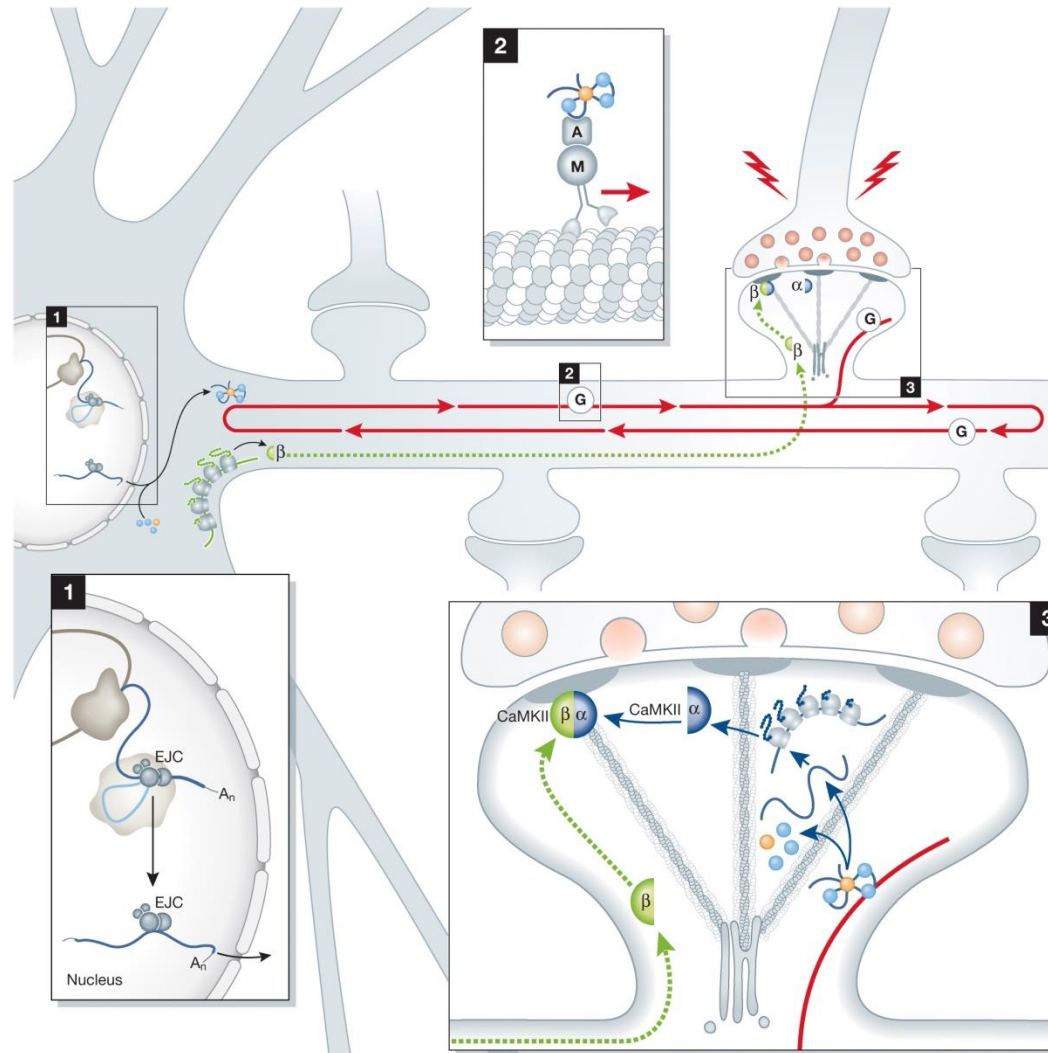
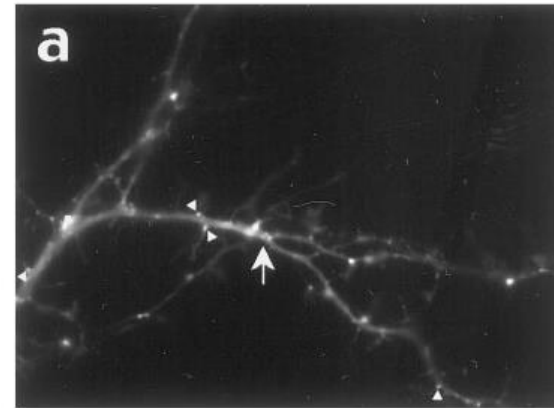
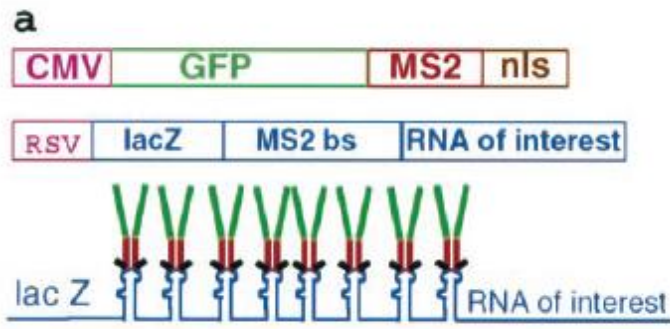


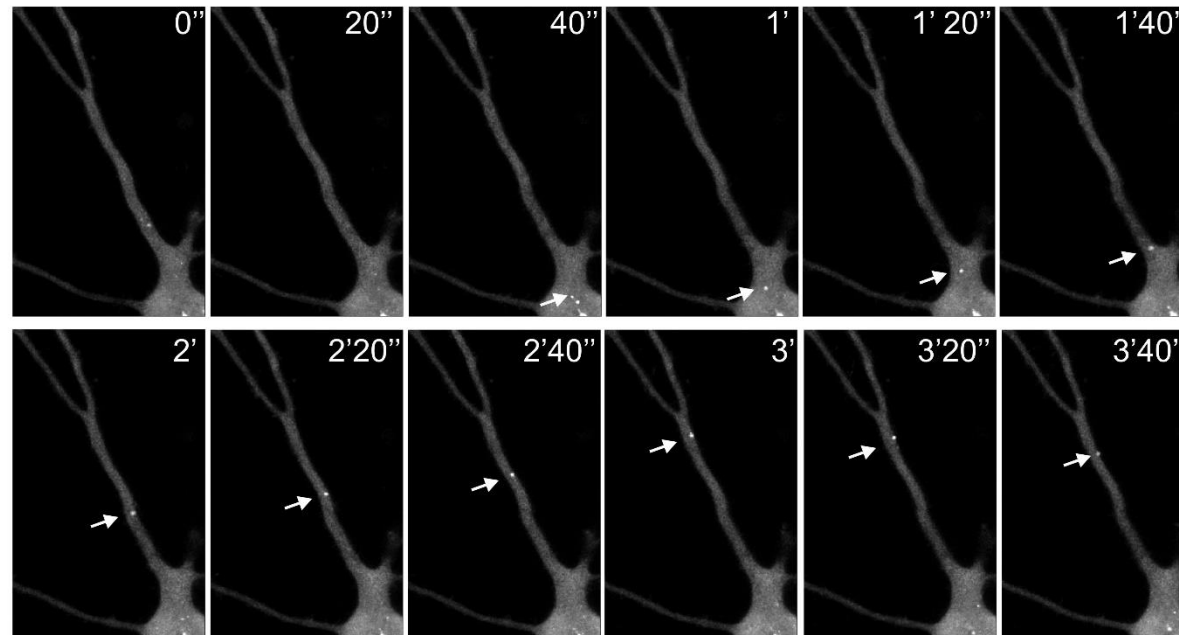
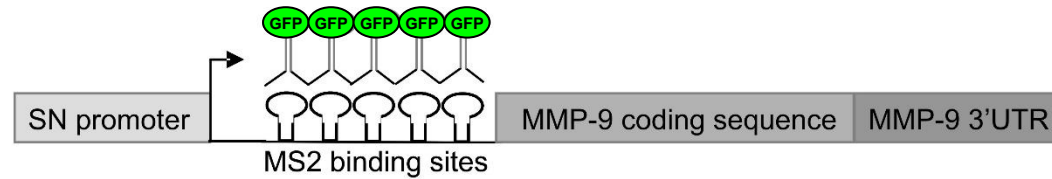
Figure 2 from Michael Doyle and Michael A Kiebler  
*The EMBO Journal* online publication  
doi:10.1038/emboj.2011.278

# MS2 system to stain targeted mRNA in the living cell

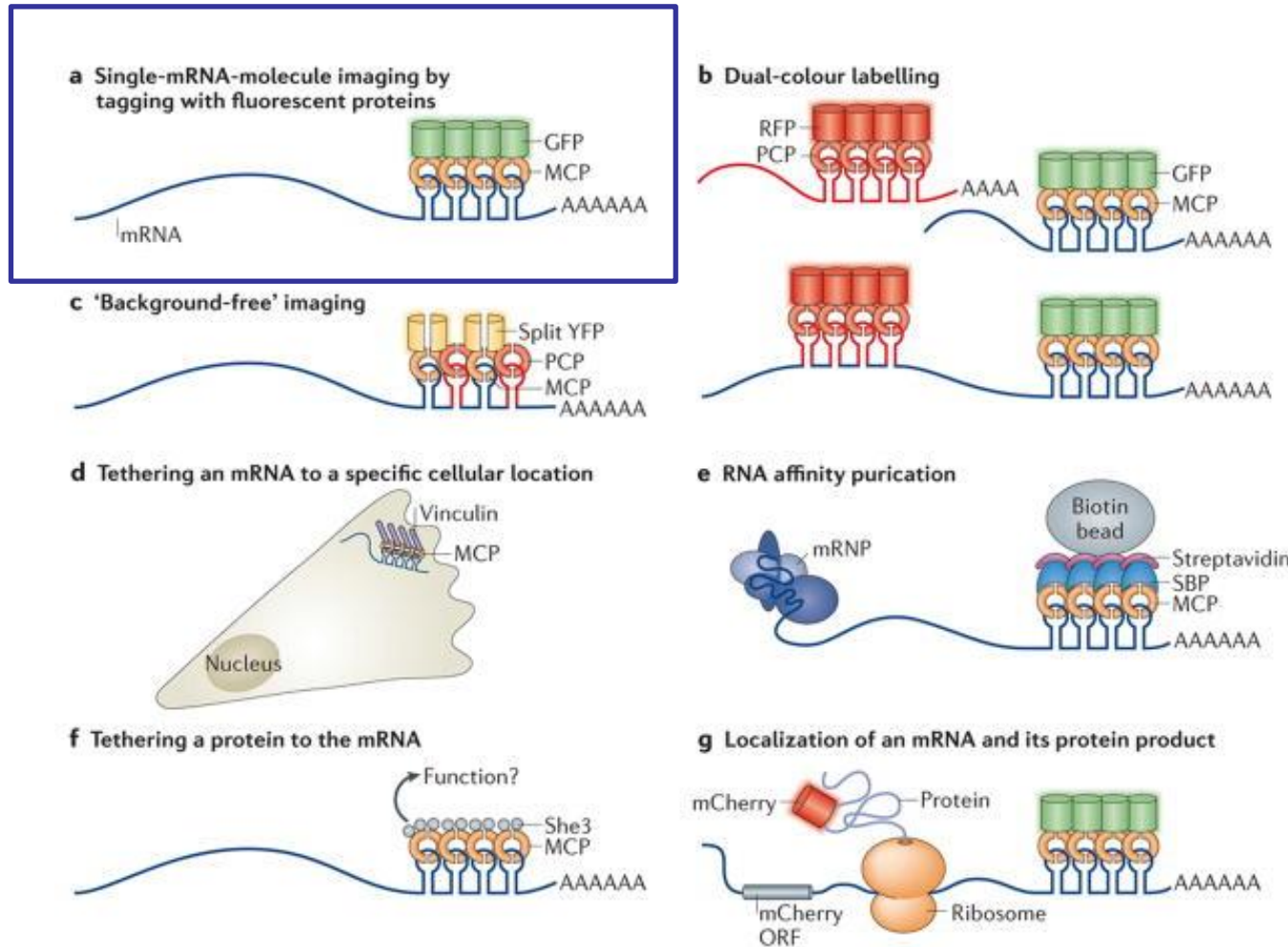


Martha S. Rook, Mei Lu, and Kenneth S. Kosik The Journal of Neuroscience, September 1, 2000, 20(17):6385–6393

# MS2 system to stain targeted mRNA in the living cell



# Traditional and novel uses of MS2-like systems to investigate mRNA biology

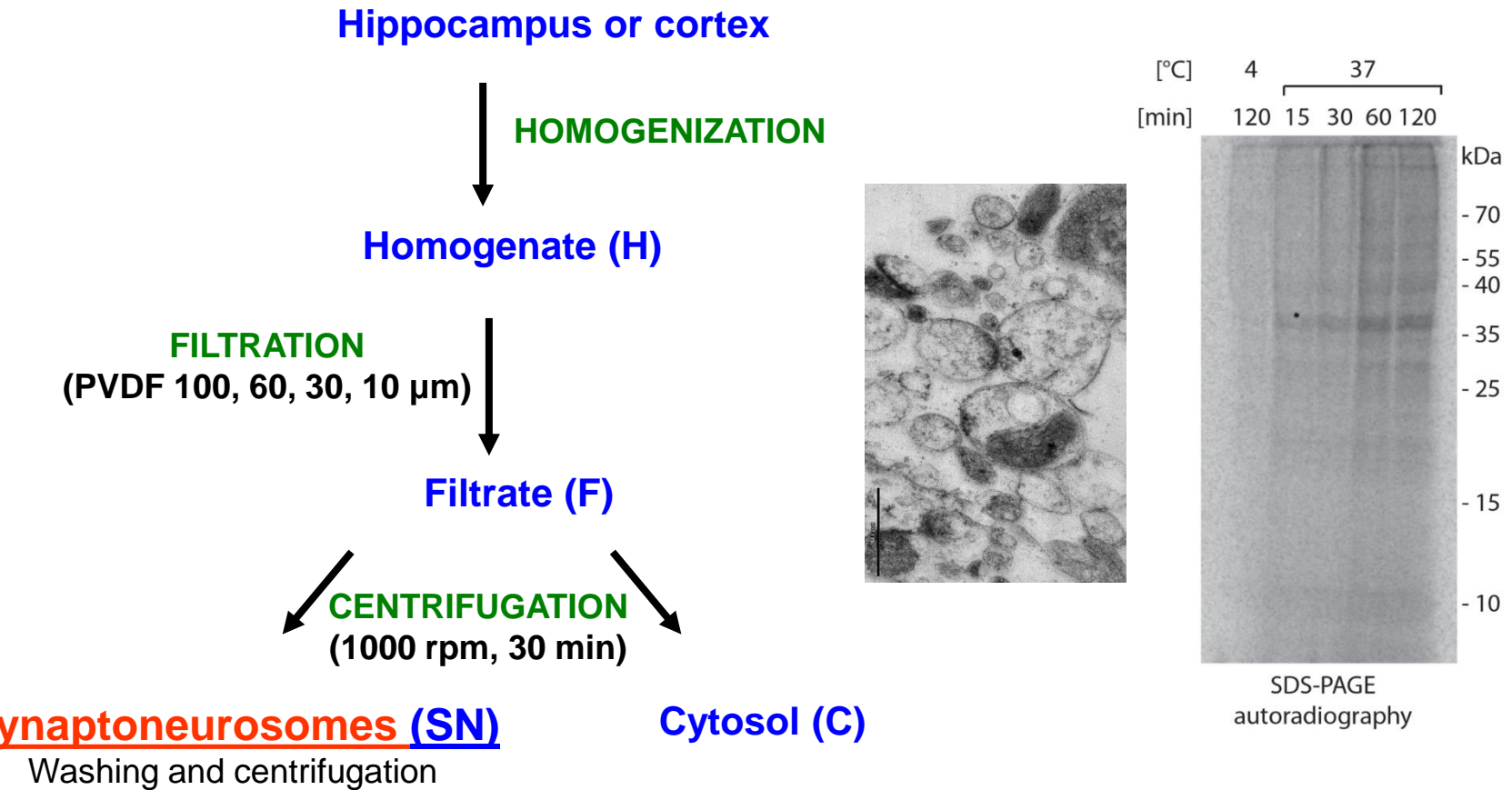


In the right place at the right time: visualizing and understanding mRNA localization.

Buxbaum AR, Haimovich G, Singer RH.

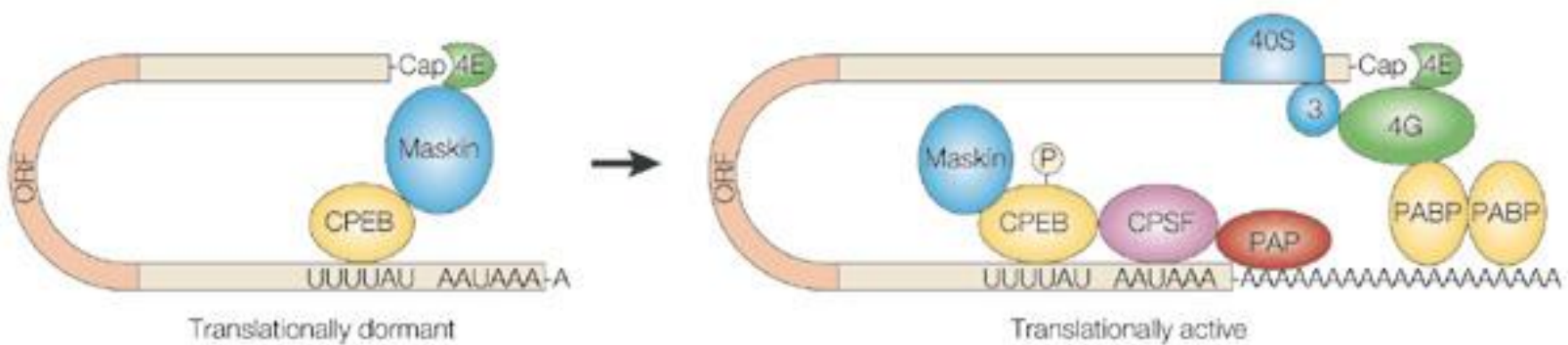
Nat Rev Mol Cell Biol. 2015

# MMP-9 protein is enriched in the synaptoneuroosomal fraction



1. Polyadenylation of MMP-9 in response to synaptic stimulation
2. Isolation of polyribosomes
3. Direct study of MMP-9 protein synthesis by Click-iT chemistry

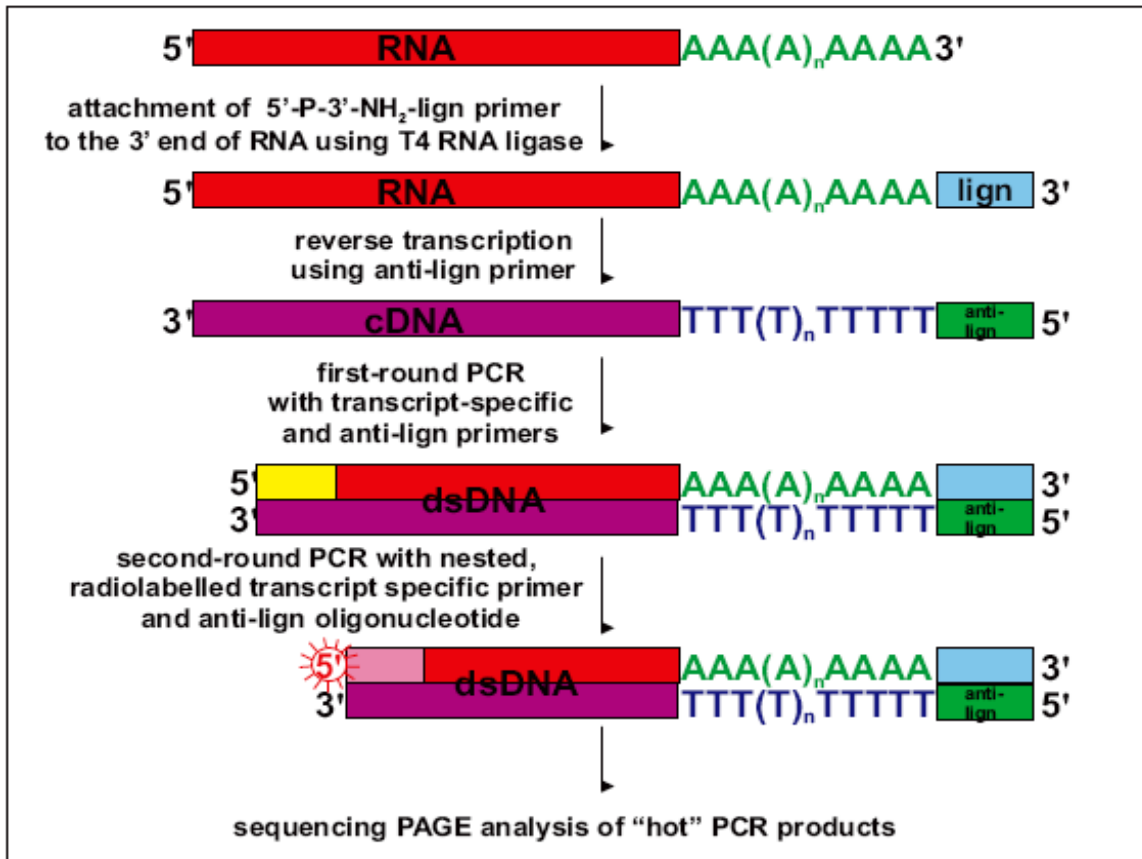
# Cytoplasmic polyadenylation promotes translation



Nature Reviews | Molecular Cell Biology

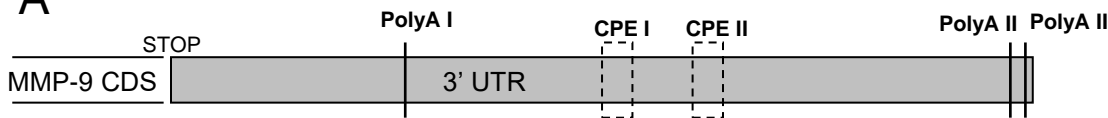
Mendez, R. & Richter, J. D. Translational control by CPEB: a means to the end. *Nature Reviews Molecular Cell Biology* 2, 521–529 (2001)

# PAT assay



# MMP-9 polyadenylation measured by PAT assay in synaptoneuroosomes after glutamate stimulation

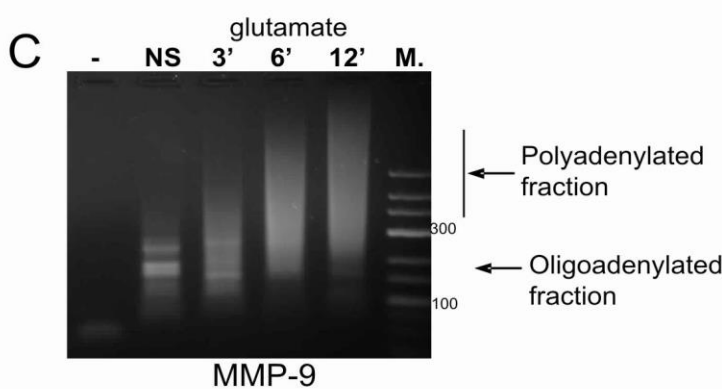
A



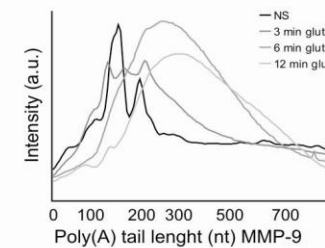
B

|               |               |                          |      |
|---------------|---------------|--------------------------|------|
| <b>CPE I</b>  | R. norvegicus | 2416 ACCUUUUUGUUUUUAUGGG | 2433 |
|               | M. musculus   | 2502 ACCUUUUUAUUUUUGUGUG | 2519 |
| <b>CPE II</b> | R. norvegicus | 2500 CCCUUUUAUUUUAUUAUGU | 2517 |
|               | M. musculus   | 2592 CCCUUUUAUUUUAUUAUGU | 2609 |

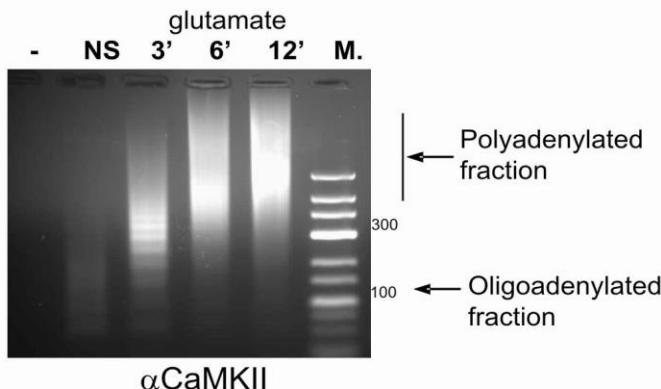
C



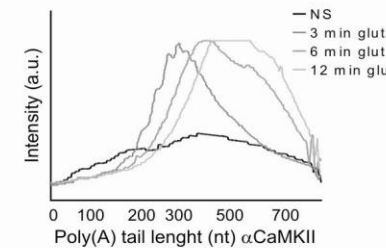
D



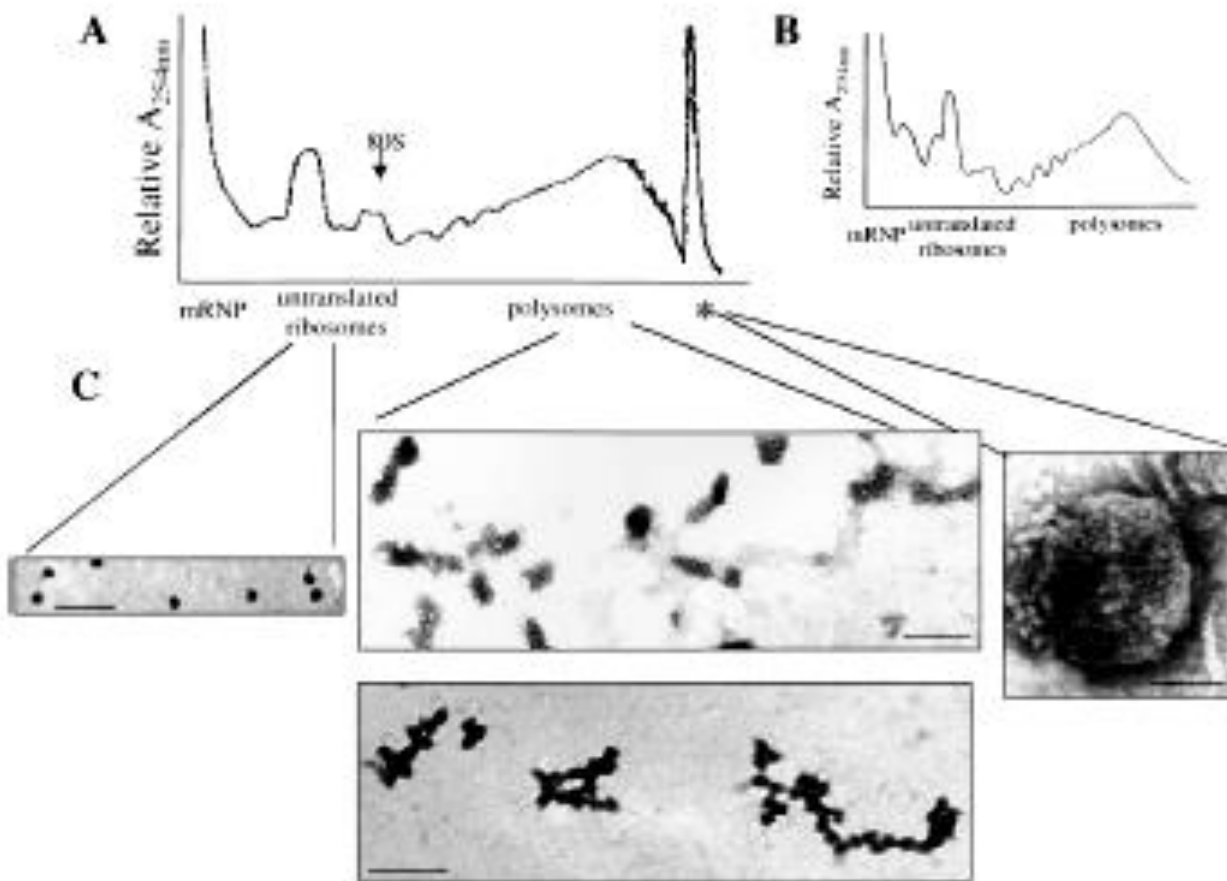
E



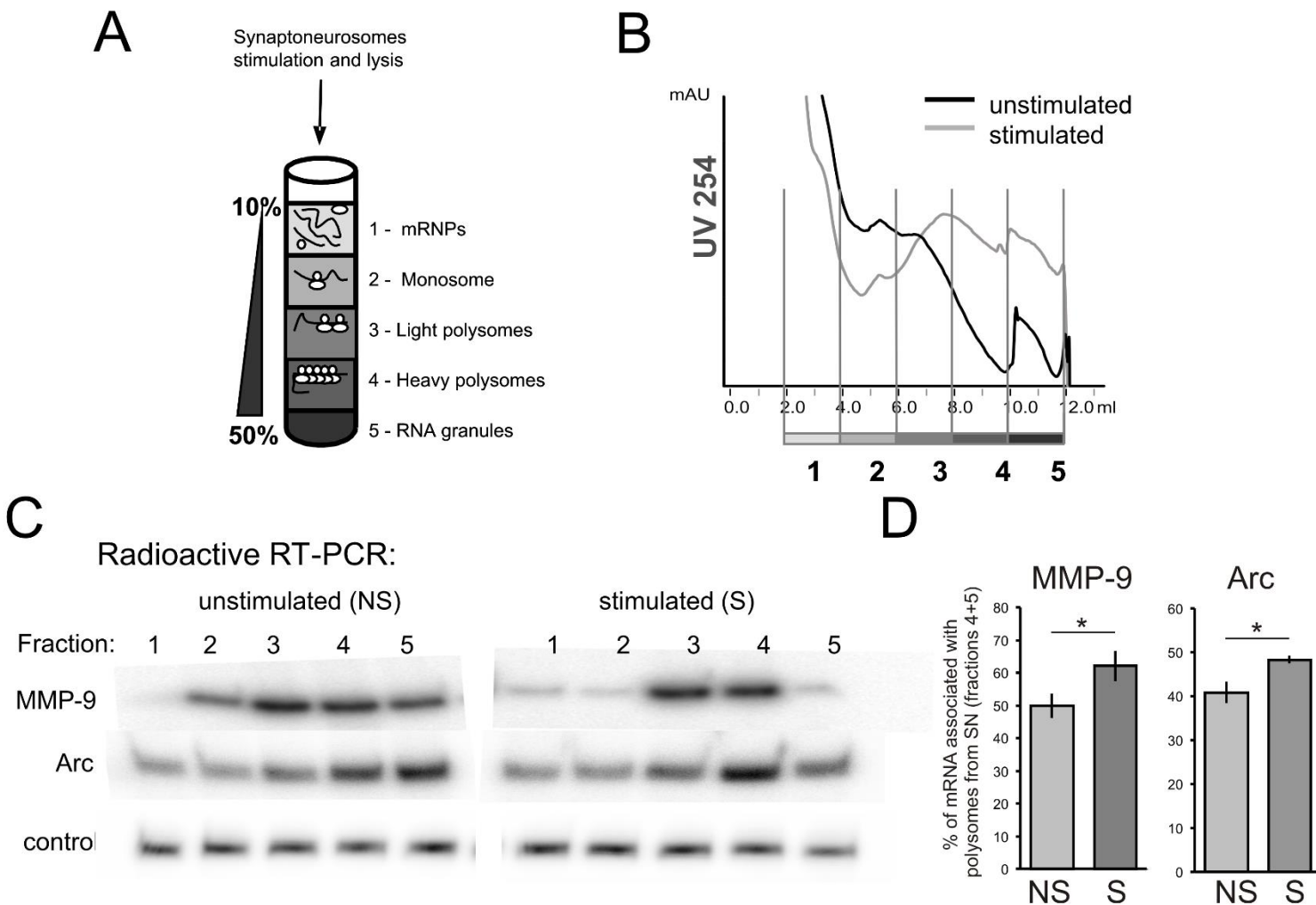
F



# Polysomal fractionation



# Polyribosome association of MMP-9 mRNA in synaptoneuroosomes



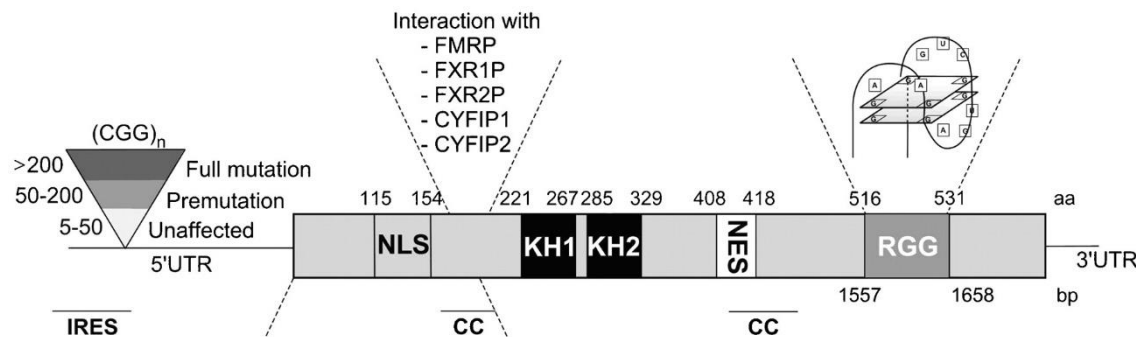
# Badanie oddziaływania białko-RNA (na przykładzie FMRP-mRNA MMP-9)

Brak FMRP prowadzi do zespołu łamliwego chromosomu X (Fragile X syndrome, FXS)

to choroba genetyczna skutkująca między innymi opóźnieniem rozwoju umysłowego i zaburzeniami ze spektrum autyzmu.

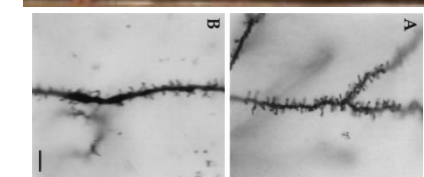
Występuje u 1:4000 mężczyzn oraz 1:8000 kobiet i odpowiada za 5% zdiagnozowanych przypadków autyzmu.

Zespół łamliwego chromosomu X jest spowodowany wyciszeniem genu *Fmr1* i wskutek tego, brakiem białka łamliwego chromosomu X (FMRP).



C D'Hulst, R F Kooy, J Med Genet 2009

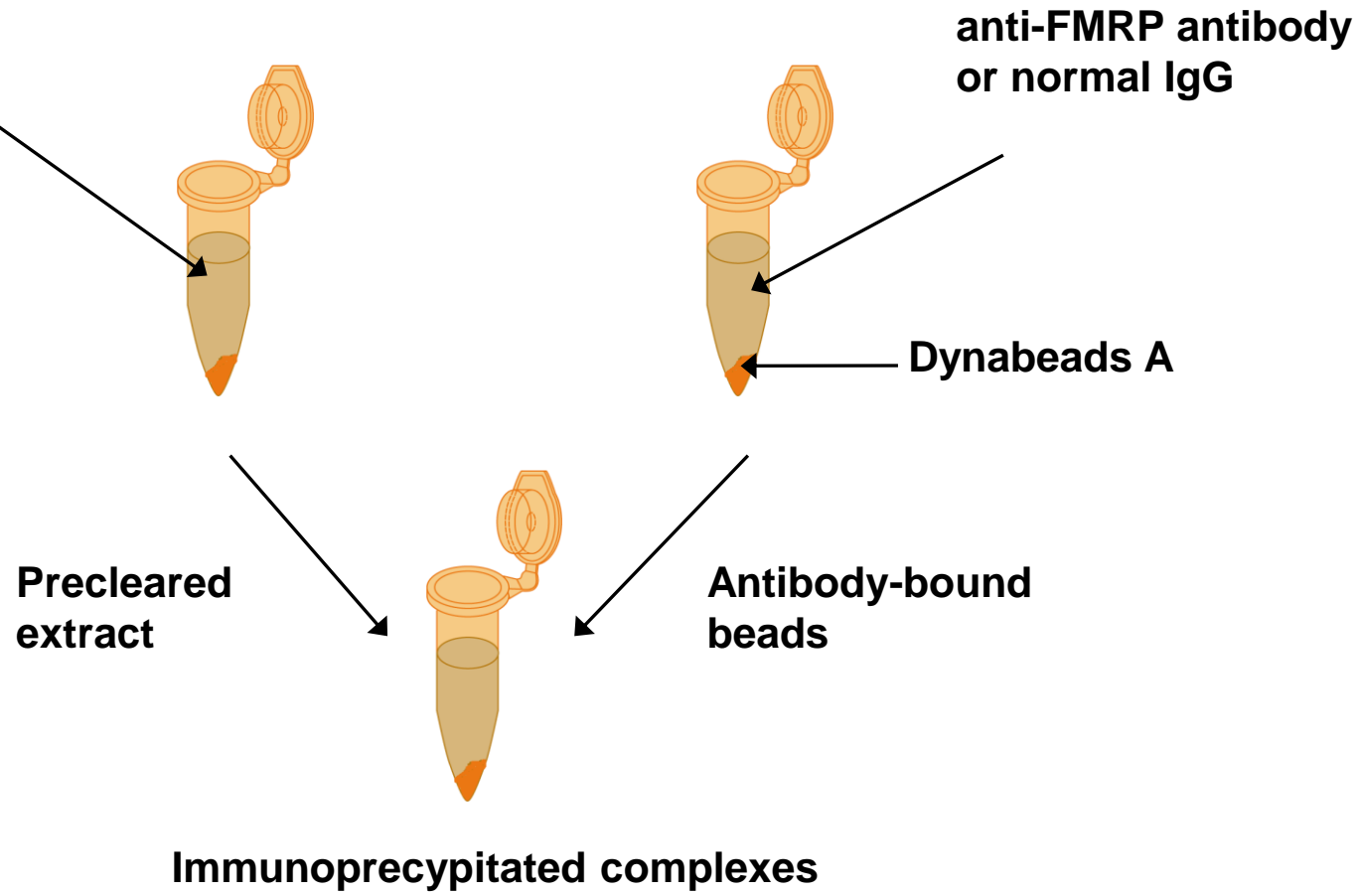
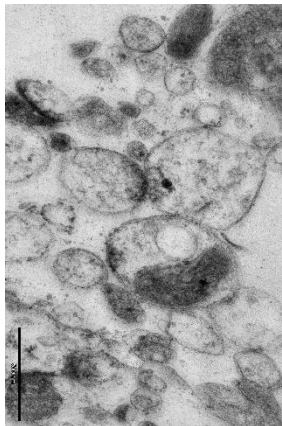
Myszy *Fmr1* KO



Rudelli et al., 1985

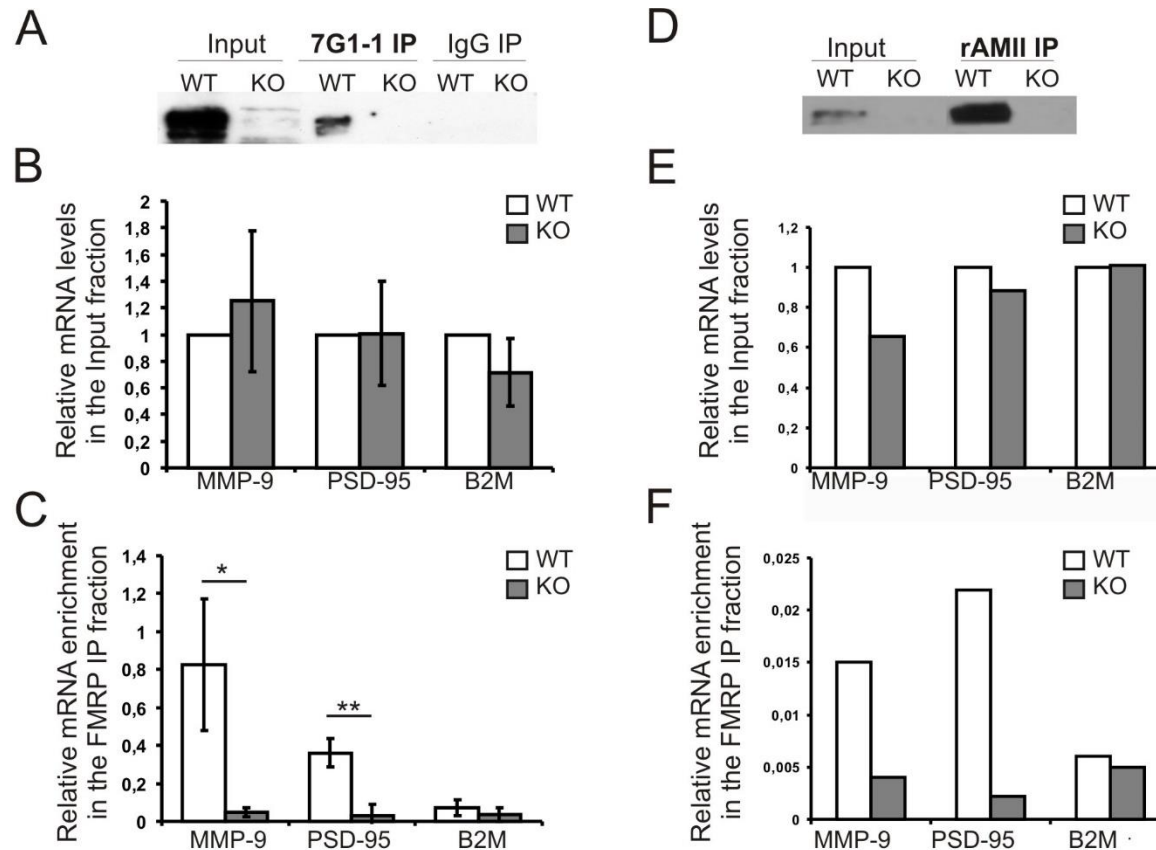
# Coimmunoprecipitation of FMRP protein with MMP-9 mRNA

**Synaptoneurosome  
extract**



- 1. Western blot**
- 2. RNA isolation and RT-PCR**

# MMP-9 mRNA is precipitated with anti-FMRP antibodies



# Local translation of MMP-9 is regulated by FMRP

